STM におけるdI/dV像の簡易モデルによるSN比評価

Scanning tunneling spectroscopy evaluation by a simple model

北大理, ○草薙 一輝, 岡崎 竜也, 朴 鎭佑, 佐藤 佑樹, 小川 義展, 松山 秀生

Hokkaido Univ., °Kazuki Kusanagi, Tatsuya Okazaki, Jinwoo Park, Yuki Sato, Yoshinobu Ogawa, Hideo Matsuyama

E-mail: kusanagi@phys.sci.hokudai.ac.jp

走査トンネル顕微鏡 (STM) を使用し、微分コンダク タンス (dI/dV, I: トンネル電流, V: バイアス電圧)を 検出することで、試料の局所状態密度(LDOS)を評価す ることができる. LDOS の変化は微小なので,バイアス 電圧に変調電圧を重畳し、ロックインの手法で計測する ことがよく行われる (バイアス変調法, Fig. 1 (a)参照). ただし、探針-試料間に浮遊容量が必ず存在するので、ロ ックインアンプの出力にはこの影響が重畳される. 浮遊 容量を通して流れる電束電流は検出信号と同じ周波数な ので、ロックインの手法では深刻なノイズ源となる.本 研究では Fig. 1 (b)のように探針-試料を抵抗 R_s , 浮遊容量 C_s で置き換えた簡単なモデルとして扱い、検出信号のSN比を議論する. また浮遊容量 C_s を通して流れる電流をキ ャンセルする簡便な手法を提案する.

探針-試料間を Fig. 1(b)のように, また電流-電圧変換回 路 (プリアンプ) を Fig. 1(a)のようにフィードバック抵抗 R_f , 容量 C_f のオペアンプ回路として解析する. ロックイ ンアンプの出力電圧 V_o は重畳正弦波の振幅 V_i , 周波数 $\omega/2\pi$, R_f , C_f , および R_s , C_s に依存し,

$$V_{o} = -\frac{R_{f}}{R_{s}} \sqrt{\frac{1 + \omega^{2} C_{s}^{2} R_{s}^{2}}{1 + \omega^{2} C_{f}^{2} R_{f}^{2}}} V_{i} e^{i(\omega t + \theta)}$$

となる[1]. ここで、1/Rsはバイアス電圧Vbでの微分コン ダクタンス dI/dVとなる. この出力をロックインアンプ で検出し、R_sを流れる電流(トンネル電流)による出力 が最大になるようにロックインの位相を合わせると、Vi で規格化した出力は,

$$\left| \frac{V_{Lockin}}{V_i} \right| \propto \frac{R_f}{R_S \sqrt{1 + \omega^2 C_f^2 R_f^2}}$$

となる. 我々の極低温 STM では $C_f = 0.2 \, \mathrm{pF}$ であので $(C_s = 0.65 \text{ pF}), R_s = 10^8 \Omega$ として上記出力を Fig. 2(a)に 示した. 帯域幅は $1/(2\pi C_f R_f)$ で決まることが分かる. 一 方, ノイズはプリアンプの R_f でのジョンソンノイズとト ンネル電流(DC 成分)のショットノイズで評価でき、 $\sqrt{R_f}$ に比例する.ここで LDOS 像(dI/dV像)を観察す ることを想定し、Rs値が異なる2種類の領域が存在し、 その差が ΔR_s として、SN比を評価すると、

$$SN \propto \frac{\sqrt{R_f}}{R_S} \frac{1}{\sqrt{1 + \omega^2 C_f^2 R_f^2}} \left(\frac{\Delta R_S}{R_S}\right)$$

となり、 $(\Delta R_s/R_s)$ で規格化したSN比の周波数依存性をFig. 2(b)に示す. 約 3 kHz 以下では $R_f = 10^9$ (ゲイン 10^9), 3 \sim 30 kHz では10 8 , 30 kHz 以上では10 7 とすべきであるこ とが分かる. ただし、変調電圧はピエゾの z 方向のフィ

ードバックが追従できない周波数で使用する必要がある (例えば 1 kHz 以上). また Fig. 1(a)の点線内に示した回 路を付加し、変調電圧の位相をπ遅らせた電圧を入力す ることで浮遊容量Csを流れる電流をキャンセルすること が可能となる.講演では上記の詳細および実際 STM で得 られたdI/dV像を示して議論する.

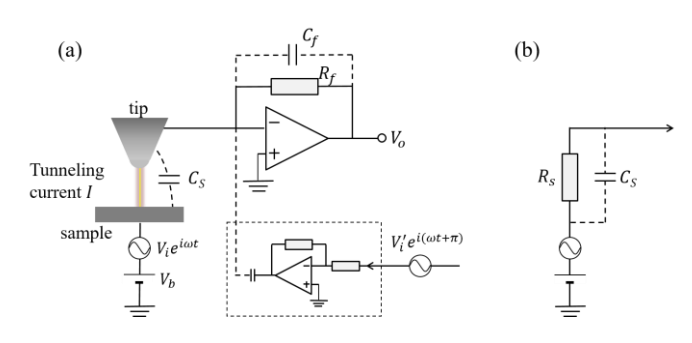
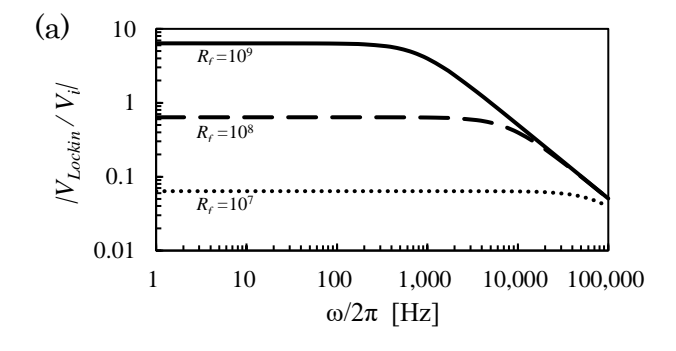


Figure 1 (a) STM circuit including a mechanism which cancels the current flowing through C_s (dotted area). (b) A simple model of the tip and sample.



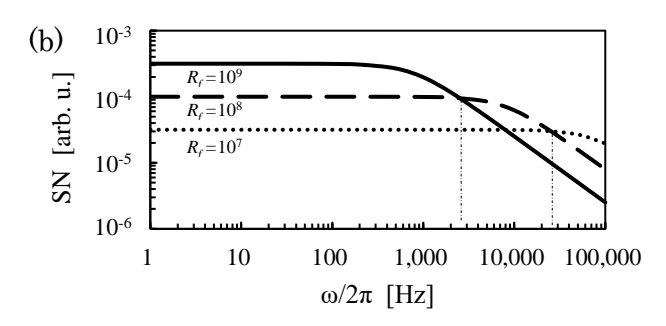


Figure 2 ω -dependence of $|V_{Lockin}/V_i|$ (a) and SN ratio (b) at $R_f =$ $10^9, 10^8, 10^7 \Omega$ ($C_f = 0.2 \text{ pF}, R_s = 10^8 \Omega$)

Reference

[1]
$$\theta = \tan^{-1} \frac{\omega(c_s R_s - C_f R_f)}{1 + \omega^2 C_s C_f R_s R_f}$$